

MISTURAS DE DIMETILFORMAMIDA-ÁGUA. I — VISCOSIDADE A DIFERENTES TEMPERATURAS.

Assis Vicente BENEDETTI *
Mário CILENSE *
Emilia Harue FRUSHIO **

RESUMO: As viscosidades de misturas de dimetilformamida-água (DMF-H₂O) foram determinadas nas temperaturas (293,15; 298,15; 303,15; 313,15 e 323,15) ± 0,05K. Foi observado um máximo ($X_{DMF} \approx 0,3$) nas curvas η e η^E vs X_{DMF} . Os valores de η^E , que se referem aos desvios da linearidade de η da mistura com a fração molar, foram obtidos. Os valores de δ foram calculados a partir da expressão $\ln\eta = x_1\ln\eta_1 + x_2\ln\eta_2 + x_1x_2d$. As quantidades η^E e δ são positivas mostrando forte interação entre os componentes. Isso também é sugerido pelos valores de ΔG° obtidos da equação $\eta = A \exp(\Delta G^\circ/RT)$.

UNTERMOS: Viscosidade; dimetilformamida; água.

INTRODUÇÃO

As propriedades físico-químicas de misturas de dimetilformamida-água (DMF-H₂O) foram bastante estudadas, porém quase a totalidade dos estudos foram realizados a 25°C. Assim, foram feitas medidas de entalpias de mistura^{1,2,3}, tensão superficial⁴, ponto de congelamento^{4,5}, capacidade calorífica⁶, volume de excesso, ($\frac{\partial V_E}{\partial p}$)T, momento dipolare

polarizabilidade⁷ e constante dielétrica⁸ para o sistema DMF-H₂O, a 20 ou 25°C.

Medidas de densidade^{4,6} e viscosidade^{6,7} foram realizadas a 20 ou 25°C para frações molares entre 0-1 e viscosidade de excesso para $X_{DMF} = 0,5$ a diferentes temperaturas⁷.

Estas propriedades, quase na sua totalidade, mostram máximos ou mínimos

para $X_{DMF} \approx 0,3$, e muitos pesquisadores interpretaram este fenômeno como uma associação molecular (DMF-nH₂O). Medidas da velocidade e absorção de ultrassom^{9,10} também sugerem interação intermolecular (DMF-H₂O).

No presente trabalho foram medidas a viscosidade e a densidade de misturas de DMF-H₂O entre 20 e 50°C com o objetivo de verificar o comportamento de cada mistura em função da fração molar e da temperatura.

PARTE EXPERIMENTAL

Reagentes e Aparelhagem

Água destilada desionizada em desionizador PERMUTION, modelo 1800, foi utilizada na calibração do viscosímetro, bimônmetro e material volumétrico, bem como no preparo das soluções. A dimetilformamida, DMF (Merck, p.a.) foi puri-

* Departamento de Físico-Química — Instituto de Química — UNESP — 14.800 — Araraquara — SP.

** Aluna de Iniciação à Pesquisa Científica — Departamento de Físico-Química — Instituto de Química — UNESP — 14.800

ficada conforme descrito na literatura¹¹.

A DMF assim obtida contém 0,06% de água (v/v) conforme determinado pelo método de Karl Fischer. Um viscosímetro de Ostwald com tempo de escoamento superior a 450 s para água a 50°C foi utilizado nas medidas de viscosidade dos solventes e suas misturas. As densidades dos solventes e soluções foram determinadas com um picônometro de Ostwald-Sprengel (10 cm³) e balança METTLER, modelo H51. Um ultratermostato U2C foi utilizado na termostatização ($\pm 0,05^\circ\text{C}$) para todas as medidas.

Procedimento Experimental

Inicialmente foram calibrados o material volumétrico, o viscosímetro ($k = 1,16 \times 10^{-5} \text{ cm}^2 \cdot \text{s}^{-2} \cdot r^2 = 0,9999$) e o picônometro [$v = (10,3207 \pm 0,0002) \text{ cm}^3$] com água destilada e desionizada, entre 20 - 50°C. A dimetilformamida foi manipulada sob atmosfera de N₂ seco (White Martins S/A) e suas soluções aquosas foram usadas imediatamente após a preparação. Uma vez termostatizadas as soluções ou o solvente foram feitas as medidas do tempo de escoamento e densidade. Para a medida do tempo de escoamento foi utilizado um cronômetro com precisão de 0,1s. Os valores do tempo de escoamento e densidade para cada solvente ou solução utilizadas nos cálculos da viscosidade (η) representam a média de pelo menos cinco medidas.

RESULTADOS E DISCUSSÃO

As viscosidades determinadas neste trabalho foram obtidas através da equação (1) na qual a contribuição para a energia cinética foi considerada desprezível.

$$\eta = kpt \quad (1)$$

onde k é a constante do viscosímetro, p é a densidade e t é o tempo de escoamento, sendo todas as unidades no sistema CGS.

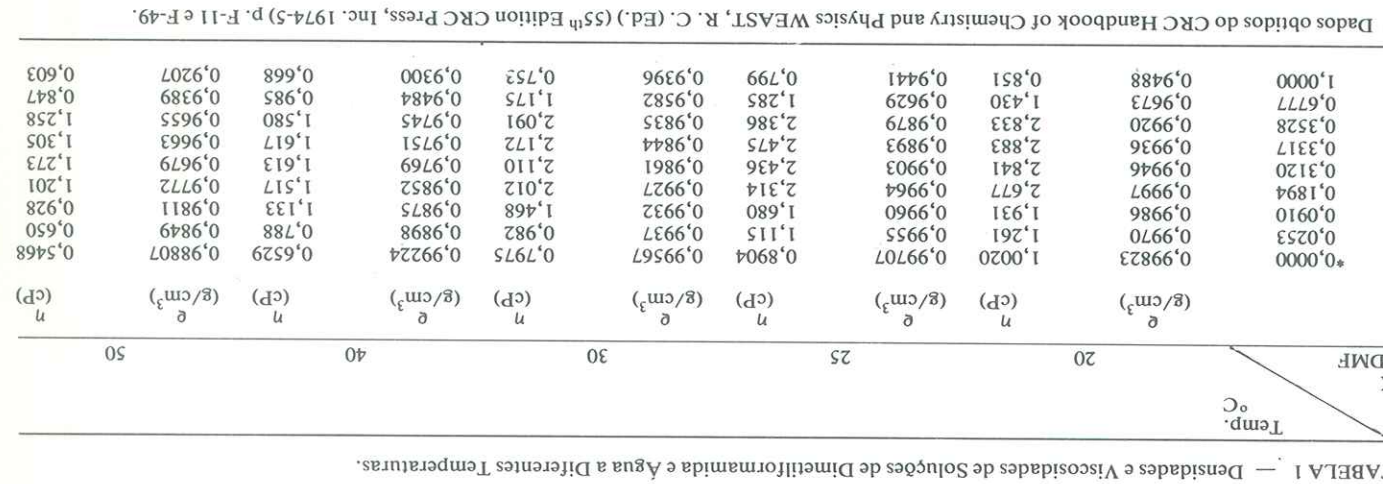
A Tabela 1 mostra as densidades e viscosidades para o sistema DMF-H₂O em função da fração molar de DMF (X_{DMF}) e da temperatura. Na Fig. 1 estão os resultados de viscosidade em função da fração molar de dimetilformamida e da temperatura. As viscosidades e densidades obtidas para a dimetilformamida e para a mistura DMF-H₂O a 25°C estão de acordo com os dados da literatura^{4,11,12}.

A Fig. 2 mostra a viscosidade de excesso (η_E) obtida a partir da equação (2), vs X_{DMF} para as diferentes temperaturas.

$$\eta_E = \eta - X_{\text{H}_2\text{O}} \eta_{\text{H}_2\text{O}} - X_{\text{DMF}} \eta_{\text{DMF}} \quad (2)$$

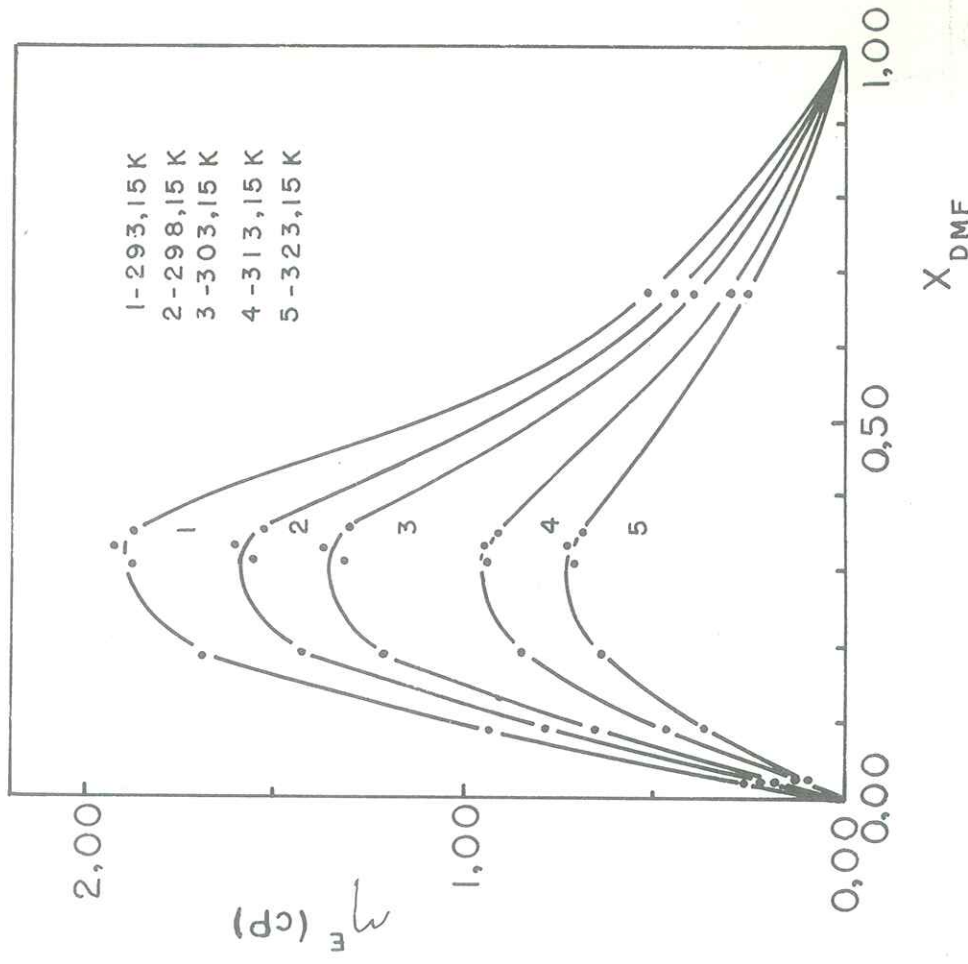
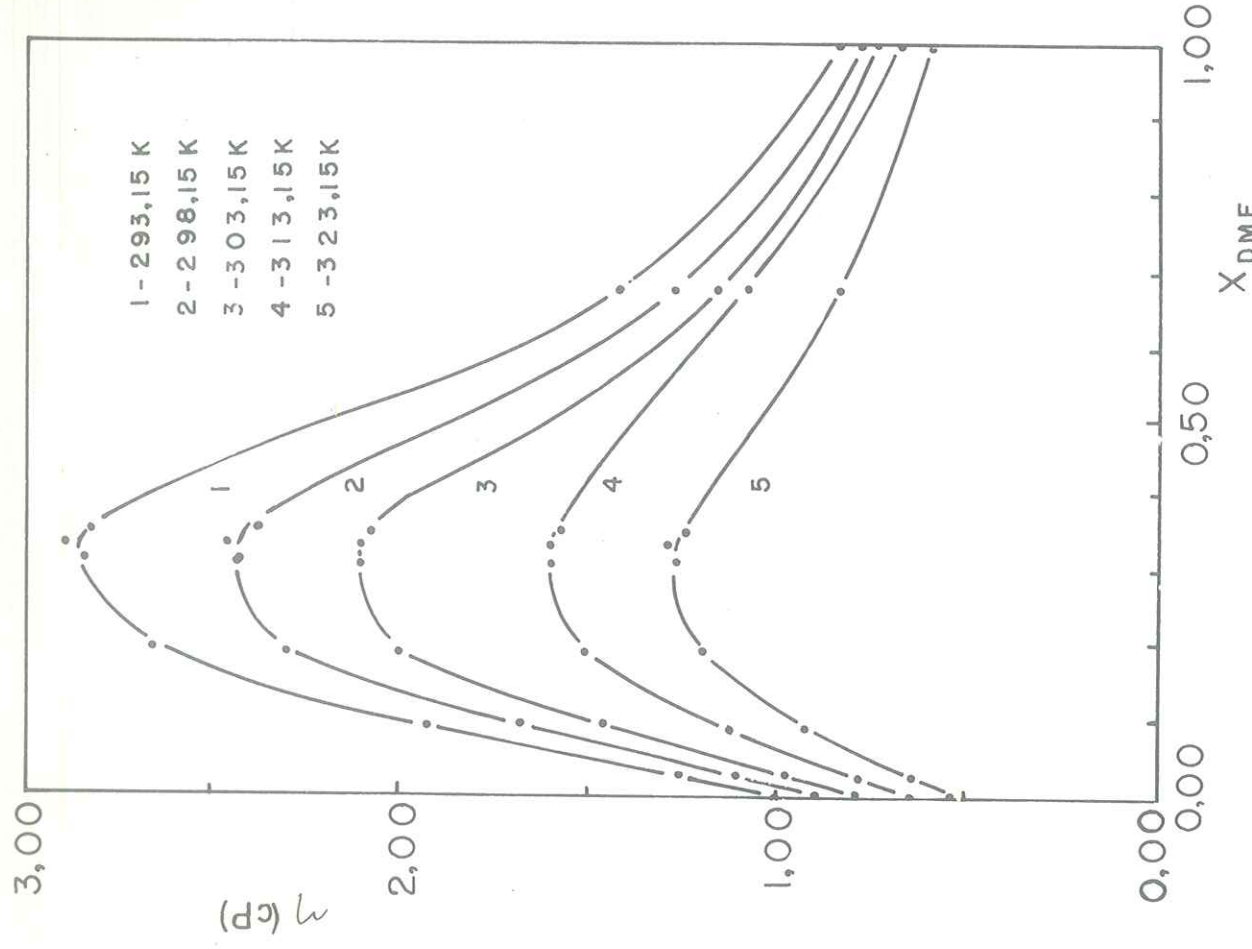
As Figs. 1 e 2 mostram um máximo nas curvas η e η_E vs X_{DMF} para $X_{\text{DMF}} \approx 0,3$. Vários trabalhos na literatura têm observado um máximo aproximadamente nesta fração molar de DMF para diferentes propriedades físico-químicas deste sistema^{2,3,4,6,7}. Verifica-se também que o máximo diminui bastante com o aumento da temperatura, indicando que as forças de interação DMF-H₂O decrescem. A presença de máximo em algumas propriedades vs X_{DMF} tem sido interpretada como devida à formação de compostos entre DMF-H₂O^{1,4,10,13,14}, ASSARSSON e EIRICH¹⁵ também atribuíram à formação de compostos entre amida e água, a presença de máximo na curva η vs X_{amida} . O espectro Raman de soluções de DMF-H₂O mostrou a formação de ligações C=O...H₂O às expensas de ligações de hidrogênio H₂O-H₂O¹⁶, o que indica que a DMF atua destruindo a estrutura da água¹⁷. As entalpias de mistura DMF-H₂O³ foram interpretadas como consequência da interação entre o grupo C=O e água juntamente com o efeito de promoção da estrutura da água pelos grupos hidrofóbicos (CH₃) da dimetilformamida. PETERSEN¹⁸ mostrou que a ligação C=O...H₂O é mais forte que as ligações H₂O-H₂O.

Todos estes fatores são indicativos de uma forte associação entre DMF-H₂O e



TABLELA 1 — Densidades e Viscosidades de Soluções de Dimetilformamida e Água a Diferentes Temperaturas.

* Dados obtidos do CRC Handbook of Chemistry and Physics WEST, R. C. (Ed.) (55th Edition CRC Press, Inc. 1974-5) p. F-11 e F-49.



podem sugerir a formação de compostos. Os valores de η_E^* podem ser discutidos sob o ponto de vista de interações moleculares^{19,20}. Os valores de η_E^* são positivos para sistemas onde há transferência de carga ou interações por pontes de hidrogênio que podem resultar na formação de espécies complexas. O máximo na curva η_E^* vs X_{DMF} pode ser associado à formação de complexos estáveis²⁰. ARRHENIUS²¹ propôs a seguinte expressão para a viscosidade de uma solução binária:

$$\ln \eta = X_1 \ln \eta_1 + X_2 \ln \eta_2 \quad (3)$$

onde, X e η representam a fração molar e a viscosidade de cada componente, respectivamente. Porém, são encontrados desvios positivos e negativos desta equação, de modo que ela representa a viscosidade das soluções nas quais as interações entre os componentes são negligenciáveis. A equação (4) foi sugerida por GRUNBERG & NISSAN²² para expressar a viscosidade de uma mistura binária:

$$\ln \eta = X_1 \ln \eta_1 + X_2 \ln \eta_2 + X_1 X_2 d \quad (4)$$

onde d representa uma medida da força de interação entre os componentes^{19,22}. A Fig. 3 mostra graficamente os valores de d vs $T(^{\circ}K)$ para as diferentes frações molares de DMF, calculados pela equação (4) com η em cP. Nesta figura observa-se que d é positivo para todas as frações molares e diminui com a temperatura. Valores de d positivos foram encontrados para sistemas que apresentam desvios negativos da lei de Raoult²². Estas curvas são lineares no intervalo de temperaturas estudadas e $(\frac{\partial d}{\partial T})_X$ é negativo e aproximadamente constante para frações molares de DMF entre 0,30 e 0,35. O valor negativo de $(\frac{\partial d}{\partial T})_X$ mostra que a força de interação DMF-H₂O diminui com o aumento da temperatura conforme esperado. Para qualquer composição fixa os valores de d variam com a força de interação entre os componentes de forma similar aos valores de η_E^* nas diferentes temperaturas. É interessante notar

também que os valores de d para as frações molares de DMF entre 0,30 e 0,35 são muito próximos, enquanto variam bastante quando X_{DMF} varia de ≈ 0 a ≈ 1 . Os valores de d mudam bastante com a composição quando forças de interação específicas podem variar com a composição.

Todas as observações e considerações feitas até aqui sugerem a presença de interações muito fortes entre DMF-H₂O que podem ser interpretadas como formação de espécies complexas.

Considerando-se a teoria das velocidades absolutas²³, a viscosidade está relacionada com a energia livre necessária para uma molécula vencer o campo de força atrativo produzido pelas suas vizinhas, de modo que ela possa pular para uma nova posição de equilíbrio. Desta forma, o desvio na viscosidade da mistura em relação ao dado pela equação (4) relaciona-se à energia livre de mistura ou energia livre de excesso. Por esta teoria a influência da temperatura sobre a viscosidade pode ser dada pela expressão abaixo:

$$\eta = A \exp |\Delta G^{\neq} / RT| \quad (5)$$

onde, ΔG^{\neq} é a energia de ativação para o escoamento viscoso. A Tabela 2 mostra os valores para a energia livre de ativação TABELA 2 — Energia livre de ativação para o escoamento viscoso obtida a partir de $\ln \eta$ vs T^{-1} (ΔG^{\neq}) e $\ln \eta_E^*$ vs T^{-1} (ΔG_E^*) para água, DMF e suas misturas.

	ΔG^{\neq} (m)	ΔG_E^* (kJmol ⁻¹)
(○) 0,0253	0,0000	15,84
(●) 0,0910	0,0253	17,44
(□) 0,1894	0,0910	19,41
(×) 0,3228	0,1894	21,19
(▼) 0,6777	0,3120	21,07
(△) 0,3317	0,3317	21,04
(■) 0,3220	0,3528	21,23
	0,6777	13,71
	1,0000	9,10

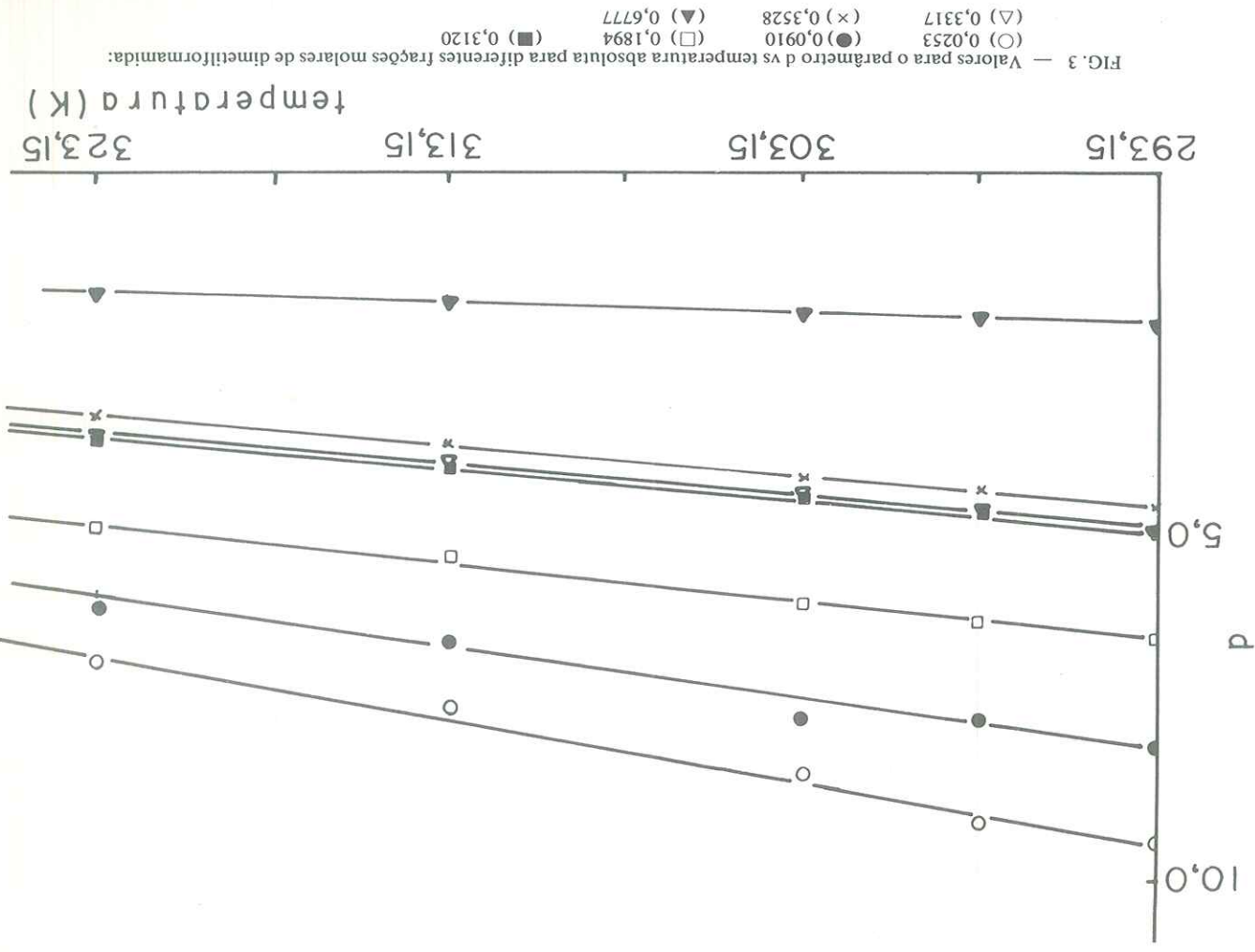


FIG. 3 — Valores para o parâmetro d vs temperatura absoluta para diferentes frações molares de dimetilformamida:

para o escoamento viscoso obtidas a partir das inclinações de retas de $\ln \eta$ vs $1/T$, onde T é a temperatura absoluta e η é a viscosidade da solução ou viscosidade de excesso obtido a partir da equação (2), para diferentes frações molares de DMF. Os valores de $\Delta G^\#$ para as soluções são bem superiores aos dos componentes puros evidenciando mais uma vez a interação entre os componentes do sistema estudado.

CONCLUSÕES

A viscosidade das soluções e de excesso crescem até um máximo, quando crescem até um máximo,

$(X_{DMF} \approx 0.3)$ para todas as temperaturas aqui estudadas. Para qualquer composição fixa, o aumento da temperatura produz um decréscimo no máximo sem provocar um deslocamento apreciável do mesmo. Os valores positivos de η^E e d , parâmetros que caracterizam a interação entre os componentes da mistura, são interpretados em termos de fortes interações entre DMF-H₂O que pode sugerir a formação de espécies complexas. A forte interação é sugerida também pelos altos valores da energia livre de ativação para o escoamento viscoso, quando comparadas às obtidas para os componentes puros.

BENEDETTI, A.V. *et alii* — Dimethylformamide-water mixtures. I — Viscosity at different temperatures. Ecl. Quim., São Paulo, 8:33-41, 1983.

ABSTRACT: Viscosities at (293.15; 298.15; 303.15; 313.15 and 323.15) \pm 0.05K have been measured for mixtures of dimethylformamide with water (DMF-H₂O). The η^E and X_{DMF} curves showed a maximum at $X_{DMF} \approx 0.3$. The values of the quantity η^E which refer to the deviations from the rectilinear dependence of viscosity η of mixture on mole fraction have been calculated. Also the values of the parameter d have been calculated from the expression $\ln \eta = x_1 \ln \eta_1 + x_2 \ln \eta_2 + x_1 x_2 d$. The η^E and d values are positives showing a strong interaction between DMF-water. This is also suggested by the $\Delta G^\#$ values obtained from $\eta = A \exp(\Delta G^\# / RT)$.

KEY-WORDS: Viscosity; dimethylformamide; water.

- 19. FORT, R. J. & MOORE, W. R. — *Trans. Faraday Soc.*, 1966, 62, 1112.
- 20. NIGAM, R.K. & SINGH, P.P. — *Indian J. Chem.*, 1971, 9, 691.
- 21. ARRHENIUS, S. - *Z. Physik. Chem.*, 1887, 1, 285.
- 22. GRUNBERG, L. & NISSAN, A. H. - *Nature*, 1949, 164, 799.
- 23. GLASSTONE, S. *et alii* - *The theory of rate processes*. New York, McGraw-Hill, 1941, cap. 9.

Recebido em 08.02.83.

REFERÊNCIAS BIBLIOGRÁFICAS

1. GELLER, B.E. - *Zh. Fiz. Khim.*, 1961, 35, 1105.
2. PETERS, H. & TAPPE, E. — *Monatshber. Disch. Akad. Wiss.*, 1967, 9, 692.
3. CILENSE, M. *et alii* - *Thermochim. Acta*, 1983, 63, 151.
4. BLANKENSHIP, F. & CLAMPITT, B. - *Proc. Oklahoma Acad. Sci.*, 1950, 31, 106.
5. KESSLER, Y.M. *et alii* - *Zh. Fiz. Khim.*, 1981, 55, 2682.
6. VISSER, C. *et alii* — *J. Chem. Eng. Data*, 1977, 22, 74.
7. SAPHON, S. & BITTRICH, H.J. - *Z. Phys. Chem. Leipzig*, 1973, 252, 113.
8. DOUHERET, M.M.G. & MORENAS, M. — *C.R. Acad. Sci. Ser. C*, 1967, 264, 729.
9. KAWAIZUMI, F. *et alii* - *Bull. Chem. Soc. Jpn.*, 1977, 50, 2229.
10. KAWAIZUMI, F. *et alii* — *Bull. Chem. Soc. Jpn.*, 1979, 52, 3135.
11. BRUMMER, S.B. - *J. Chem. Phys.*, 1965, 42, 1636.
12. GOPAL, R. & RASTOZI, P.P. - *Z. Physik, Chem. Neue Folge, Bd.*, 1970, 69, 1.
13. VERTAKOV, E.S. *et alii* - *Zh. Strukt. Khim.*, 1980, 21, 91.
14. MISKUSTIN, A.I. & KESSLER, Yu. M. - *Zh. Strukt. Khim.*, 1974, 15, 205.
15. ASSARSSON, P. & EIRICH, F.R. - *J. Phys. Chem.*, 1968, 72, 2710.
16. RODGERS, G. E. & PLANE, R. A. — *J. Chem. Phys.*, 1975, 63, 818.
17. SWENSON, C.A. - *Arch. Biochem. Biophys.*, 1966, 117, 494.
18. PETERSEN, R.C. - *J. Phys. Chem.*, 1960, 64, 184.